

第 28 届全国部分地区大学生物理竞赛试卷

参考答案

1. $v_{\perp} = v_0$, $v_{\parallel} = 2v_0 \cot \theta$; 2. 各边中点, $\frac{1}{4}Ma^2$; 3. $\sqrt{\frac{k}{m}}$, $\frac{ma_0}{k}$;
 4. $n_0 e^{-mgh/kT}$, $p_0 e^{-mgh/kT}$; 5. $\frac{1}{13}$, $\frac{1}{12}$; 6. $\frac{mv_0 \sin \phi}{qB}$, $\frac{2\pi mv_0 \cos \phi}{qB}$;
 7. $\frac{\mu_0 IR^2}{2(R^2 + x^2)^{3/2}}$, $\frac{\mu_0 \pi r^2 R^2}{2(R^2 + x^2)^{3/2}}$; 8. $1.22 \frac{\lambda}{d}$, 3.36×10^{-4} ;
 9. $\frac{D}{a} \lambda$, $\sqrt{2} \frac{b}{a} \lambda$; 10. $\arctan \frac{\beta^2}{\sqrt{1-\beta^2}}$, $\sqrt{1-\beta^2 + \beta^4} l_0$

11. 解: 由牛顿第二定律和角动量守恒, 得

$$m\omega_0^2 R_0 = G \frac{M_0 m}{R_0^2} \Rightarrow \omega_0^2 = G \frac{M_0}{R_0^3} \quad (1) \quad (3\text{分})$$

$$m\omega^2 R = G \frac{(M_0 - \Delta M)m}{R^2} \Rightarrow \omega^2 = G \frac{(M_0 - \Delta M)}{R^3} \quad (2) \quad (2\text{分})$$

$$m\omega R^2 = m\omega_0 R_0^2 \Rightarrow \omega = \omega_0 \frac{R_0^2}{R^2} \quad (3) \quad (3\text{分})$$

将 (3) 式代入 (2) 式, 得

$$\frac{\omega_0^2 R_0^4}{R^4} = G \frac{M_0 - \Delta M}{R^3} \Rightarrow R = \frac{\omega_0^2 R_0^4}{G(M_0 - \Delta M)} \quad (4)$$

将 (1) 式代入 (4) 式, 得

$$R = \frac{GM_0 R_0^4}{GR_0^3(M_0 - \Delta M)} = \frac{R_0}{(1 - \frac{\Delta M}{M_0})}$$

即得

$$R = R_0 \left(1 + \frac{\Delta M}{M_0}\right) \quad (5) \quad (4\text{分})$$

将 (5) 式代入 (3) 式, 得

$$\omega = \frac{\omega_0 R_0^2}{R_0^2 \left(1 + \frac{\Delta M}{M_0}\right)^2} = \omega_0 \left(1 + \frac{\Delta M}{M_0}\right)^{-2}$$

即得

$$\omega = -\omega_0 \left(1 - \frac{2\Delta M}{M_0}\right) \quad (3\text{分})$$

12. 解：(1) A 第一次朝下移动时，气缸内的气体压强增大，使 K_1 关闭， K_2 打开。A 到

达 B 处时，由 $p_1 \times \frac{3}{2}L = p_0 \times 5L$ 得 $p_1 = \frac{10}{3}p_0$ (5分)

(2) A 从 B 处朝上拉时，C 上方气体体积增大，压强减小， K_2 即关闭。C 下方气体压强 p_1 不变，上方气体压强继续减小，直到 A 距 C 高为 h 时压强降到 p_0 ，由

$$p_0 h = p_1 \times \frac{L}{2} \quad \text{得} \quad h = \frac{5}{3}L < 4L \quad (4分)$$

A 继续朝上拉动时，因 K_1 已打开，外部大气进入气缸内。

(3) 将 A 第 $N+1$ 次下行到 B 后 C 下方气体压强记为 p_{N+1} ，则有

$$p_{N+1} \times \frac{3}{2}L = p_0 \times 4L + P_N \times L$$

当 C 下方气体压强达极大值 p_e 时，应有 $p_{N+1} = p_N = p_e$

即解得 $p_e = 8p_0$ (6分)

13. 解：由高斯定理和导体板内 $\vec{E} = 0$ ，得电荷、电场分布如题解图所示，有

$$\begin{cases} Q_1 + Q_2 = 3Q \\ Q_1 - Q_2 = Q \end{cases} \Rightarrow \begin{cases} Q_1 = 2Q \\ Q_2 = Q \end{cases}$$

P 的运动分为三个阶段。

第一阶段：从初位到右板

$$E_1 = \frac{2Q}{\epsilon_0 S}, \quad a_1 = \frac{qE_1}{m} = \frac{2qQ}{\epsilon_0 mS}$$

$$v_1 = \sqrt{2a_1 d} = \sqrt{\frac{4qQd}{\epsilon_0 mS}}$$

$$t_1 = \frac{v_1}{a_1} = \sqrt{\frac{\epsilon_0 mSd}{qQ}} \quad (4分)$$

第二阶段：板间运动

$$E_2 = \frac{Q}{\epsilon_0 S}, \quad a_2 = \frac{qE_2}{m} = \frac{qQ}{\epsilon_0 mS} \quad v_2^2 = v_1^2 + 2a_2 d = \frac{6qQd}{\epsilon_0 mS}$$

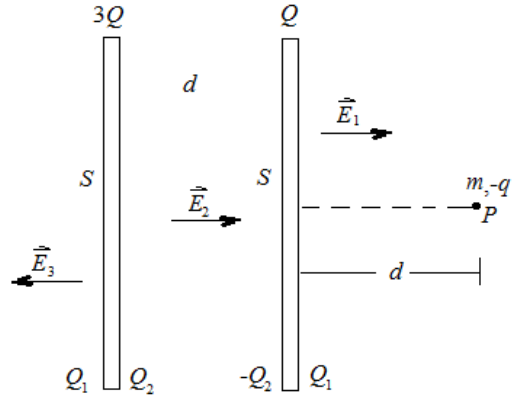
$$t_2 = \frac{v_2 - v_1}{a_2} = (\sqrt{6} - 2) \sqrt{\frac{\epsilon_0 mSd}{qQ}} \quad (4分)$$

第三阶段：从左板朝左到停止运动。

$$a_3 = a_1 = \frac{2qQ}{\epsilon_0 mS}, \quad t_3 = \frac{v_2}{a_3} = \sqrt{\frac{3\epsilon_0 mSd}{2qQ}} \quad d_{\text{左}} = \frac{v_2^2}{2a_3} = \frac{3}{2}d \quad (4分)$$

$$\text{小结：} \quad T = 2(t_1 + t_2 + t_3) = (3\sqrt{6} - 2) \sqrt{\frac{\epsilon_0 mSd}{qQ}} \quad (2分)$$

$$S = 2(d_1 + d_2 + d_{\text{左}}) = 7d \quad (1分)$$



14.解：小球质量记为 m 。 μ_1 取值范围：参考题解图 1，有
 $N = mg \cos \theta$, $mg \sin \theta - f = ma$, $fr = I_C \beta$

与 $a = \beta r$, $I_C = \frac{2}{5}mr^2$ 联立，可解得

$$f = \frac{2}{7}mg \sin \theta, \mu_1 \geq \frac{f}{N} = \frac{2}{7} \tan \theta \quad (5 \text{分})$$

μ_2 取值范围：参考题解图 2，有

$$N = mg \cos(\theta - \phi) + m \frac{v^2}{R - r}.$$

$$mg \sin(\theta - \phi) - f = ma_{\text{切}}$$

$$fr = I_C \beta, \beta = \frac{a_{\text{切}}}{r}$$

$$mg \{h + (R - r)[\cos(\theta - \phi) - \cos \theta]\}$$

$$= \frac{1}{2}mv^2 + \frac{1}{2}I_C \omega^2 \Big|_{\omega=v/r} = \frac{7}{10}mv^2$$

解得 $f = \frac{2}{7}mg \sin(\theta - \phi)$

$$N = \frac{1}{7}mg \left[\frac{10h}{R - r} + 17 \cos(\theta - \phi) - 10 \cos \theta \right]$$

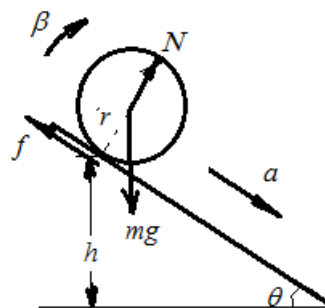
$$\Rightarrow \mu_2 \geq \frac{f}{N} = 2 \sin(\theta - \phi) \Big/ \left[\frac{10h}{R - r} + 17 \cos(\theta - \phi) - 10 \cos \theta \right] \quad (8 \text{分})$$

等式右边最大值出现在 $\phi = 0$ 处，故取

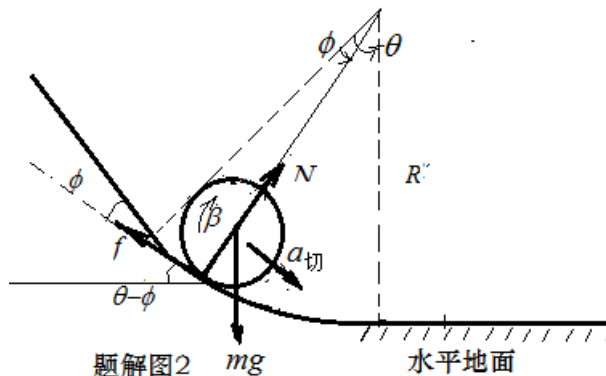
$$\Rightarrow \mu_2 \geq 2 \sin \theta \Big/ \left(\frac{10h}{R - r} + 7 \cos \theta \right)$$

μ_3 取值范围：到达水平地面，摩擦力消失，继续匀速纯滚，故

$$\mu_3 \geq 0, \text{ 即 } \mu_3 \text{ 可取任意 (正的) 值 (包括零)} \quad (2 \text{分})$$



题解图1



题解图2

15.解:

$$(1) U_{AB}(0^-) = \frac{R_2}{R_1 + R_2} \varepsilon, \quad I_1(0^-) = I_2(0^-) = \frac{\varepsilon}{R_1 + R_2}, \quad Q(0^-) = \frac{R_2}{R_1 + R_2} C\varepsilon \quad (3\text{分})$$

(2) 在 $t = 0^-$ 到 $t = 0^+$ 的无穷短的 dt 时间内, 电容器上方极板电量 Q 可能会变化, 此种变化必定通过有限电流 I_C 实现, 增量必为无穷小量。无穷小增量 dQ , 使

$$U_{AB}(0^+) = U_{AB}(0^-) = \frac{R_2}{R_1 + R_2} \varepsilon$$

$$\text{成立, 使得 } I_1(0^+) = \frac{[\varepsilon - U_{AB}(0^+)]}{R_1} = \frac{\varepsilon}{R_1 + R_2} = I_1(0^-);$$

$$I_2(0^+) = \frac{U_{AB}(0^+)}{R_2} = \frac{\varepsilon}{R_1 + R_2} = I_2(0^-);$$

$$I_3(0^+) = \frac{U_{AB}(0^+)}{R_3} = \frac{R_2}{R_3(R_1 + R_2)} \varepsilon$$

$$I_C(0^+) = I_1(0^+) - I_2(0^+) - I_3(0^+) = -I_3(0^+) = -\frac{R_2}{R_3(R_1 + R_2)} \varepsilon$$

$$\text{因 } dQ = I_C(0^+)dt = -\frac{R_2}{R_3(R_1 + R_2)} \varepsilon dt < 0, \text{ 且为无穷小量, 故}$$

$$Q(0^+) = Q(0^-) + dQ = Q(0^-) = -\frac{R_2}{R_1 + R_2} C\varepsilon \quad (6\text{分})$$

可见在 $t = 0^-$ 到 $t = 0^+$ 的无穷短的时间内, $I_C(0^+)$ 与图示方向相反, 成为新增的 $I_3(0^+)$ 电流。

$$(3) \text{ 由 } \varepsilon = I_1 R_1 + I_2 R_2, \quad I_1 = I_2 + I_3 + I_C \Rightarrow \varepsilon = I_2(R_1 + R_2) + I_3 R_1 + I_C R_1$$

$$I_3 R_3 = I_2 R_2 \Rightarrow \varepsilon = \frac{R_1 R_2 + R_2 R_3 + R_3 R_1}{R_3} I_2 + I_C R_1$$

$$I_2 R_2 = \frac{Q}{C} \Rightarrow \varepsilon = \frac{R_1 R_2 + R_2 R_3 + R_3 R_1}{C R_2 R_3} Q + I_C R_1$$

$$I_C = \frac{dQ}{dt} \Rightarrow \varepsilon = \frac{R_1 R_2 + R_2 R_3 + R_3 R_1}{C R_2 R_3} Q + R_1 \frac{dQ}{dt}$$

$$\text{得 } \frac{dQ}{dt} = -(AQ - B) \begin{cases} A = \frac{R_1 R_2 + R_2 R_3 + R_3 R_1}{C R_1 R_2 R_3} \\ B = \varepsilon / R_1 \end{cases}$$

$Q(t)$ 的求解:

$$\int_{Q(0^+)}^{Q(t)} \frac{dQ}{AQ - B} = \int_{0^+}^t -dt \Rightarrow \frac{1}{A} \ln \frac{AQ(t) - B}{AQ(0^+) - B} = -t$$

$$\text{得 } Q(t) = \left[Q(0^+) - \frac{B}{A} \right] e^{-At} + \frac{B}{A}$$

$$\Rightarrow Q(t) = \frac{R_2}{R_1 R_2 + R_2 R_3 + R_3 R_1} C\varepsilon \left(\frac{R_1 R_2}{R_1 + R_2} e^{-At} + R_3 \right)$$

$I_2(t)$ 、 $I_3(t)$ 的求解:

$$I_2 = \frac{Q}{CR_2} \Rightarrow I_2(t) = \frac{\varepsilon}{R_1 R_2 + R_2 R_3 + R_3 R_1} \left(\frac{R_1 R_2}{R_1 + R_2} e^{-At} + R_3 \right)$$

$$I_3 = \frac{R_2}{R_3} I_2 \Rightarrow I_3(t) = \frac{R_2 \varepsilon}{R_3 (R_1 R_2 + R_2 R_3 + R_3 R_1)} \left(\frac{R_1 R_2}{R_1 + R_2} e^{-At} + R_3 \right)$$

$I_C(t)$ 、 $I_1(t)$ 的求解:

$$I_C = \frac{dQ}{dt} \Rightarrow I_C(t) = \frac{-R_2 \varepsilon}{R_3 (R_1 + R_2)} e^{-At}$$

$$I_1 = I_2 + I_3 + I_C \Rightarrow I_1(t) = \frac{\varepsilon}{R_1 R_2 + R_2 R_3 + R_3 R_1} \left((R_2 + R_3) - \frac{R_2^2}{R_1 + R_2} e^{-At} \right) \quad (11分)$$

16.解 (1) 引入由 x 轴出发沿逆时针方向旋转角 ϕ , $2\pi \geq \phi \geq 0$ 。

$$\text{基本公式: } x_C = \frac{1}{4}(x_1 + x_2 + x_3 + x_4), \quad y_C = \frac{1}{4}(y_1 + y_2 + y_3 + y_4)$$

第 I 阶段: $\frac{\pi}{2} > \phi \geq 0$

$$x_1 = 4d \cos \phi, x_2 = 0, x_3 = -4d, x_4 = 0$$

$$y_1 = 4d \sin \phi, y_2 = 4d, y_3 = 0, y_4 = -4d$$

$$x_C = d \cos \phi - d, y_C = d \sin \phi \Rightarrow (x_C + d)^2 + y_C^2 = d^2 \quad (2分)$$

轨迹: 如图解图曲线段 I 所示, 为圆心 $(-d, 0)$, 半径 d 的四分之一圆弧。

第 II 阶段: $\pi > \phi \geq \frac{\pi}{2}$

$$x_1 = x_2 = 4d \cos \phi, x_3 = -4d, x_4 = 0$$

$$y_1 = y_2 = 4d \sin \phi, y_3 = 0, y_4 = -4d$$

$$x_C = 2d \cos \phi - d, y_C = 2d \sin \phi - d$$

$$\Rightarrow (x_C + d)^2 + (y_C + d)^2 = (2d)^2 \quad (2分)$$

轨迹: 如题解图曲线段 II 所示, 为圆心 $(-d, -d)$, 半径 $2d$ 的四分之一圆弧。

第 III 阶段: $\frac{3\pi}{2} > \phi \geq \pi$

$$x_1 = x_2 = x_3 = 4d \cos \phi, x_4 = 0$$

$$y_1 = y_2 = y_3 = 4d \sin \phi, y_4 = -4d$$

$$x_C = 3d \cos \phi, y_C = 3d \sin \phi - d \Rightarrow x_C^2 + (y_C + d)^2 = (3d)^2 \quad (2分),$$

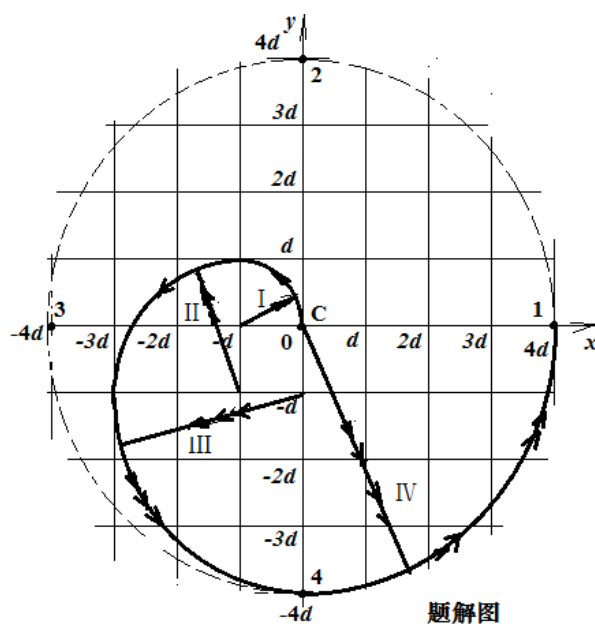
轨迹: 如题解图曲线段 III 所示, 为圆心 $(0, -d)$, 半径 $3d$ 的四分之一圆弧。

第 IV 阶段: $2\pi \geq \phi \geq \frac{3\pi}{2}$

$$x_1 = x_2 = x_3 = x_4 = 4d \cos \phi, \quad y_1 = y_2 = y_3 = y_4 = 4d \sin \phi$$

$$x_C = 4d \cos \phi, y_C = 4d \sin \phi \Rightarrow x_C^2 + y_C^2 = (4d)^2 \quad (1分),$$

轨迹: 如题解图曲线段 IV 所示, 为圆心 $(0, 0)$, 半径 $4d$ 的四分之一圆弧。



(2) 推力 \vec{F} 和摩擦力 \vec{f} ，分别与木块 1 无穷小位移同方向和反方向。第 I 阶段中通过题解图可知，质心无穷小位移方向与木块 1 无穷小位移方向始终相同。第 II、III、IV 阶段中也是如此。全过程中合外力对质心所作元功便为

$$(\vec{F} + \vec{f}) \cdot d\vec{l}_C = (F - f)dl_C$$

由质心动能定理 $W_{\text{合外力}} = \Delta E_{KC}$ ，考虑到全过程应有 $\Delta E_{KC} = 0$

即得

$$(F - \mu mg) \frac{1}{4} (2\pi d) + (F - 2\mu mg) \frac{1}{4} (2\pi \cdot 2d) + (F - 3\mu mg) \frac{1}{4} (2\pi \cdot 3d) + (F - 4\mu mg) \frac{1}{4} (2\pi \cdot 4d) = 0$$

可解得 $F = 3\mu mg$ (5分)

(3) 由 $F = 3\mu mg$ 可知，在木块 3 被推动前，以环心为参考点，系统所受外力力矩之和大于零，系统角动量一直在增大。木块 3 被推动后，外力力矩之和为零，系统角动量达到最大值，直到木块 4 被推动前此值不变。木块 4 被推动后，外力力矩之和小于零，系统角动量开始减小。

木块 3 被推动时，有

$$(F - \mu mg) \frac{1}{4} (2\pi d) + (F - 2\mu mg) \frac{1}{4} (2\pi \cdot 2d) = \frac{1}{2} m_C v_C^2$$

$$F = 3\mu mg, m_C = 4m \Rightarrow v_C = \sqrt{\pi \mu g d}$$

系统动量大小为 $P = P_C = m_C v_C = 4m\sqrt{\pi \mu g d}$

对应 $L_{\text{max}} = R_{\text{环}} P = 4dP = 16md\sqrt{\pi \mu g d}$ (4分)

木块 3 被推动时，质心动量值达最大，为 $P_{C,\text{max}} = 4m\sqrt{\pi \mu g d}$

木块 3 被推动后，虽然此值不变，但参考题解图可知，木块 1、2、3 一起靠近木块 4 的过程中， \vec{r}_C 的方向逐渐与 \vec{P}_C 垂直， r_C 大小逐渐增到 $4d$ 值。因此，质心相对环心角动量的最大值出现在木块 4 被碰撞时刻，即有

$$L_{C,\text{max}} = 4d \cdot P_{C,\text{max}} = 16md\sqrt{\pi \mu g d} \quad (4分)$$

以后， P_C 减小， L_C 也随之减小。

17. 解：(1) 直接在 S 系中运用费马原理求解本题。S 系中 $t = 0$ 时刻，取一个位于 $x_i > 0$ 的波阵面，它在 $o-xy$ 平面上表现为题解图中的一段虚直线，其上任意一点的 y 坐标统记为 y_0 。

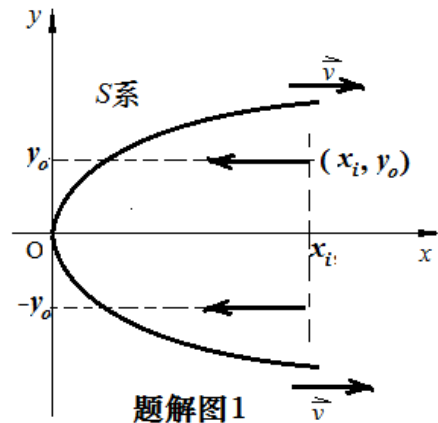
如题解图 2 所示，设 (x_i, y_0) 点朝左的光线经光程 L_1 ，于 t_1 时刻遇投影抛物线，交于

$(x_0 = vt_1 + \frac{y_0^2}{2p}, y_0)$ 点。反射光线经光程 L_2 ，于 $t_1 + t_2$

时刻与 x 轴交于 $(x_e, 0)$ 点。(注意， $t_1 + t_2$ 时刻题解图

2 所画 t_1 时刻的投影抛物线在 S 系中的位置又将右移 vt_2 距离。) 总光程便为

$$L = L_1 + L_2, \quad \begin{cases} L_1 = x_i - x_0 \\ L_1 = ct_1 \end{cases}, \quad \begin{cases} L_2 = \sqrt{y_0^2 + (x_e - x_0)^2} \\ L_2 = ct_2 \end{cases}, \quad x_0 = \frac{y_0^2}{2p} + vt_1 \quad (6分)$$



题解图 1

为需要, 将 t_1 、 x_0 、 t_2 、 L 均表述成 x_i 、 y_0 、 x_e 的函数。

$t_1 \sim x_i, y_0$:

$$ct_1 = x_i - x_0 = x_i - \left(\frac{y_0^2}{2p} + vt_1 \right)$$

$$\Rightarrow t_1 = \frac{1}{c+v} \left(x_i - \frac{y_0^2}{2p} \right)$$

$x_0 \sim x_i, y_0$:

$$x_0 = \frac{y_0^2}{2p} + vt_1 \Rightarrow x_0 = \frac{\beta}{1+\beta} x_i + \frac{1}{1+\beta} \frac{y_0^2}{2p}$$

$t_2 \sim x_i, y_0, x_e$:

$$ct_2 = L_2 = \sqrt{y_0^2 + (x_e - x_0)^2} \Rightarrow t_2 = \frac{1}{c} \sqrt{y_0^2 + \left[x_e - \frac{1}{1+\beta} \left(\beta x_i + \frac{y_0^2}{2p} \right) \right]^2}$$

$L \sim x_i, y_0, x_e$:

$$L = c(t_1 + t_2) \Rightarrow L = \frac{1}{1+\beta} \left(x_i - \frac{y_0^2}{2p} \right) + \sqrt{y_0^2 + \left[x_e - \frac{1}{1+\beta} \left(\beta x_i + \frac{y_0^2}{2p} \right) \right]^2}$$

据费马原理, 若对于给定的 x_i , 任意的 y_0 点都能得到同一个 x_e , 使得 $\frac{dL}{dy_0} = 0$ 。

则表明真实的反射光束中每一条光线均过 x 轴上的 x_e 点, 即反射光束成像于 x_e 点。

$\frac{dL}{dy_0} = 0 \Rightarrow x_e$ 点的确定:

$$0 = \frac{dL}{dy_0} = -\frac{1}{1+\beta} \frac{y_0}{p} + \frac{1}{2} \frac{2y_0 + 2 \left[x_e - \frac{1}{1+\beta} \left(\beta x_i + \frac{y_0^2}{2p} \right) \right] \left(-\frac{1}{1+\beta} \frac{y_0}{p} \right)}{\sqrt{y_0^2 + \left[x_e - \frac{1}{1+\beta} \left(\beta x_i + \frac{y_0^2}{2p} \right) \right]^2}}$$

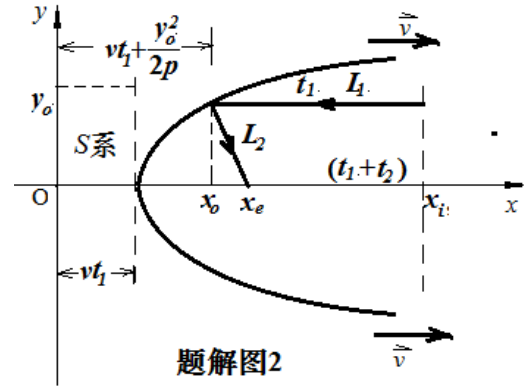
$$\Rightarrow \left(\frac{1}{1+\beta} \frac{1}{p} \right)^2 \left\{ y_0^2 + \left[x_e - \frac{1}{1+\beta} \left(\beta x_i + \frac{y_0^2}{2p} \right) \right]^2 \right\} = \left\{ 1 - \frac{1}{1+\beta} \frac{1}{p} \left[x_e - \frac{1}{1+\beta} \left(\beta x_i + \frac{y_0^2}{2p} \right) \right] \right\}^2$$

$$\Rightarrow \left(\frac{1}{1+\beta} \right)^2 \frac{1}{p^2} y_0^2 + \left(\frac{1}{1+\beta} \frac{1}{p} \right)^2 \left[x_e - \frac{1}{1+\beta} \left(\beta x_i + \frac{y_0^2}{2p} \right) \right]^2$$

$$= 1 - \frac{2}{1+\beta} \frac{1}{p} \left[x_e - \frac{1}{1+\beta} \left(\beta x_i + \frac{y_0^2}{2p} \right) \right] + \left(\frac{1}{1+\beta} \frac{1}{p} \right)^2 \left[x_e - \frac{1}{1+\beta} \left(\beta x_i + \frac{y_0^2}{2p} \right) \right]^2$$

$$\Rightarrow \left(\frac{1}{1+\beta} \right)^2 \frac{1}{p^2} y_0^2 = 1 - \frac{2}{1+\beta} \frac{1}{p} x_e + \left(\frac{1}{1+\beta} \right)^2 \frac{2}{p} \beta x_i + \left(\frac{1}{1+\beta} \right)^2 \frac{1}{p^2} y_0^2$$

$$\Rightarrow \frac{2}{1+\beta} \frac{1}{p} x_e = \left(\frac{1}{1+\beta} \right)^2 \frac{2}{p} \beta x_i + 1$$



即得反射光束成像点坐标为 $\Rightarrow x_e = \frac{\beta}{1+\beta}x_i + \frac{1+\beta}{2}p$ x_i 大, t_1 也大, 使 x_e 也大。

f 的计算: 因 $f = x_e - vt$, $t = t_1 + t_2$ 与 y_0 取值无关, 故取 $y_0 = 0$ 来计算。此时有

$$\begin{aligned} x_i &= (c+v)t_1 \Rightarrow t_1 = \frac{x_i}{c+v}, & ct_2 &= x_e - vt_1 \Rightarrow t_2 = \frac{x_e}{c} - \beta t_1 \\ \Rightarrow t_1 + t_2 &= \frac{x_e}{c} + (1-\beta)t_1 = \frac{x_e}{c} + \frac{1-\beta}{c+v}x_i \\ \Rightarrow f &= x_e - v(t_1 + t_2) = x_e - \beta x_e - \frac{v(1-\beta)}{c+v}x_i = (1-\beta)x_e - \frac{\beta(1-\beta)}{1+\beta}x_i = (1-\beta)(x_e - \frac{\beta}{1+\beta}x_i) \end{aligned}$$

将前面已得的 x_e 表达式代入, 即得 $f = \frac{1-\beta^2}{2}p$

反之, x_e 也可表述成 $x_e = f + v(t_1 + t_2) = \frac{1-\beta^2}{2}p + vt$

结论: 反射光束在 x 轴上成一点像, 对应的 f 值如上式所示。 (14 分)

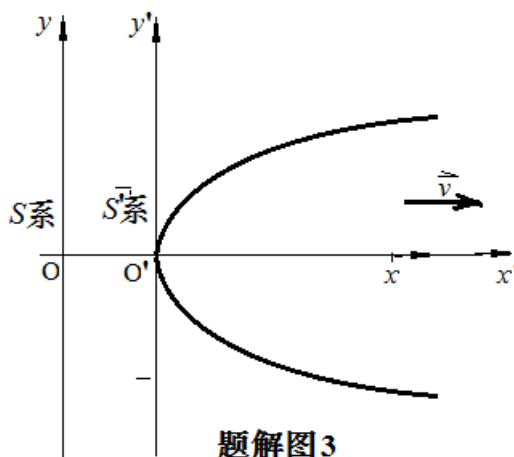
(2) 相对论知识结合静态抛物线光学聚焦知识求解本题:

如题解图 3 所示, 设置相对旋转曲面静止的惯性参考系 S' , 曲面顶点取为坐标原点 O' , 且令 O', O 重合时, $t = t' = 0$ 。在 S 系中的投影抛物线方程

$$y^2 = 2p(x - vt)$$

经洛伦兹变换

$$\begin{cases} y' = y \\ x' = \frac{x - vt}{\sqrt{1-\beta^2}} \end{cases} \Rightarrow \begin{cases} y' = y \\ x - vt = \sqrt{1-\beta^2}x' \end{cases}$$



可得在 S' 系中的静态曲线方程为 $y'^2 = 2p_0x'$ $p_0 = \sqrt{1-\beta^2}p$

于是, S 系中投影抛物线方程可改成

$$y^2 = 2\frac{p_0}{\sqrt{1-\beta^2}}x - \frac{2p_0}{\sqrt{1-\beta^2}}vt \quad (3分)$$

S' 系中静态旋转曲面即为静态旋转抛物面, 平行光束经表面反射成像于焦点

($x' = \frac{p_0}{2}, y' = 0$) 处。 S 系观察到的必定也是一个点像, 其位置可由洛伦兹变换得到

$$\begin{cases} y' = y \\ x' = \frac{x - vt}{\sqrt{1-\beta^2}} \end{cases} \Rightarrow \begin{cases} y = y' \\ x = \sqrt{1-\beta^2}x' + vt = \frac{\sqrt{1-\beta^2}}{2}p_0 + vt \end{cases}$$

确定为 $\left(x = \frac{\sqrt{1-\beta^2}}{2}p_0 + vt, y = 0\right)$ 或 $\left(x = \frac{1-\beta^2}{2}p + vt, y = 0\right)$ (3 分)

此结果与 (1) 所得一致。